

## تعیین تغییرات شعاعی و زمانی دمای الکترونها در توکامک IR-T1 با استفاده از تابش سیکلوترونی الکترونها

محبوب حسین پور<sup>۱</sup>، عباس انواری<sup>۱</sup> و محمود قرآن نویس<sup>۲</sup>

۱. دانشکده فیزیک، دانشگاه صنعتی شریف، تهران  
۲. مرکز تحقیقات فیزیک پلاسمای پونک، تهران

(دریافت مقاله: ۸۵/۳/۱؛ دریافت نسخه نهایی: ۸۶/۴/۲)

### چکیده

در این مقاله اندازه‌گیری مشخصات پلاسمای IR-T1 مورد مطالعه قرار گرفته و با استفاده از آن پروفیل دمای الکترونها در سطح مقطع پلاسمای توکامک IR-T1 اندازه‌گیری شده است. در این اندازه‌گیری برای سنجش تابش‌های سیکلوترونی گسیل شده از یک طیف سنج پنج کاناله هترودین با قدرت تغییریک‌زمانی بالا استفاده شده و نتایج به دست آمده برای نمایش پروفیل دما در سطح مقطع پلاسمای IR-T1 مورد استفاده قرار گرفته است. همچنین تغییرات این پروفیل بر حسب زمان نیز اندازه‌گیری و معرفی شده است.

واژه‌های کلیدی: توکامک IR-T1، تابش سیکلوترونی الکترون، دمای الکترون

### ۱. مقدمه

سیکلوترونی همچنین می‌تواند اطلاعات ارزشمندی درباره توزیع چگالی، مدهای برشی، جهت میدان مغناطیسی و نیز انرژی تابشی اتلافی در پلاسمای IR-T1 به دست دهد [۲]. مطلوب‌ترین حالت در استفاده از تابش سیکلوترونی حالتی است که الکترونها پلاسمای تابشی شبیه تابش جسم سیاه داشته باشند. عدم همپوشانی هارمونیکهای تابشی نیز در آنالیز امواج دریافتی نقش مهمی را بازی می‌کند. در این مقاله ابتدا تابش سیکلوترونی و نحوه اندازه‌گیری مشخصات پلاسمای IR-T1 به بررسی شده و سپس به ساختار آزمایش و بررسی نتایج گرفته شده از آن پرداخته شده است.

۲. روابط اساسی  
در یک تابع توزیع ماکسولی در حد غیر نسبیتی شدت تابش

اندازه‌گیری مشخصات پلاسمای IR-T1 به ویژه اندازه‌گیری موضعی دما در توکامک‌ها اطلاعات مفیدی را در مطالعه و شناخت این نوع ماشینها از نظر محبوس سازی و تحقیقات همجوشی هسته‌ای به دست می‌دهد. روشنی که امروزه جایگزین روش استفاده از پراکنده‌گی ناهمدوسر نور لیزر از پلاسمای IR-T1 در اندازه‌گیری مشخصاتی مانند دما یا چگالی شده است استفاده از تابش سیکلوترونی الکترونها محبوس در پلاسمای توکامک می‌باشد. آزمایش‌های تجربی نشان داده‌اند که اندازه‌گیری تابش‌های سیکلوترونی به ویژه هنگامی که در هارمونیکهای اول و دوم خود و نیز در امتداد شعاع اصلی چنبره اندازه‌گیری شوند می‌توانند با دقت بالایی در تعیین دمای موضعی الکترونها در سطح مقطع توکامک مورد استفاده قرار گیرند. تابش

$$\lambda = \frac{2\pi c}{\omega_{ce}} \quad V_{te} = \left( \frac{2KT_e}{m_e} \right)^{\frac{1}{2}} \quad \text{در روابط فوق سرعت الکترونها،}$$

$R$  شعاع بزرگ توکامک،  $\omega_{pe}$  و  $\omega_{ce}$  به ترتیب فرکانس پلاسما و فرکانس سیکلولترونی الکترونها هستند. برای هارمونیک دوم نیز ضخامت اپتیکی برای دو قطبش عادی و غیرعادی چنین می‌باشد:

$$\tau_{n=1}^{ord} = \frac{\pi^{\frac{1}{2}}}{4} \left( \frac{V_{te}}{C} \right)^{\frac{1}{2}} \left( 1 - \frac{\omega_{pe}}{\omega_{ce}} \right) R$$

$$\tau_{n=1}^{ext} = \pi^{\frac{1}{2}} \left[ \frac{\omega_{pe}}{\omega_{ce}} \right]^{\frac{1}{2}} \frac{\omega_{pe}}{\omega_{ce}} \left( \frac{V_{te}}{C} \right)^{\frac{1}{2}} \frac{R}{\lambda}$$

چنانچه ملاحظه می‌شود وجود توان چهار در عامل  $(\frac{V_{te}}{c})^{\frac{1}{2}}$  در مد غیر عادی هارمونیک اول و نیز در مد عادی هارمونیک دوم برقراری شرط  $\tau > 1$  را بسیار مشکل می‌کند در حالی که هارمونیک اول مد عادی و هارمونیک دوم مد غیر عادی از این نظر مطلوب‌ترند و لذا معمولاً اندازه‌گیریها در این مدها صورت می‌گیرد. اندازه‌گیری در هارمونیکهای بالاتر از دو نیز به دلیل آنکه عامل  $\omega_{ce}$  در مخرج کسر مقدار  $\tau$  را کاهش می‌دهد مطلوب نمی‌باشد. در اندازه‌گیریهای انجام شده در این مقاله چنانچه توضیح داده خواهد شد هارمونیک اول مد عادی نیز به علت قرار گرفتن در ناحیه قطع، غیر قابل استفاده بوده و فقط از هارمونیک دوم مد غیر عادی استفاده شده است.

### ۳. شرح آزمایش

مشخصات توکامکی که در این مقاله مورد آزمایش قرار گرفته است به شرح زیر است:

شعاع بزرگ توکامک	$R_0 = 45 \text{ cm}$
شعاع کوچک توکامک	$a = 12/5 \text{ cm}$
میدان مغناطیسی چنبره‌ای	$B_t = 0.5 \sim 0.6 \text{ T}$
چگالی پلاسما	$n = 1/3 \times 10^{19} \text{ m}^{-3}$
جریان پلاسما	$I_p = 18 - 20 \text{ KA}$
طول موج تابش‌های سیکلولترونی	مورد اندازه‌گیری با مشخصات
این توکامک در محدوده میلی‌متر و یا زیر میلی‌متر بوده و طیف	

سیکلولترونی الکترونها وابسته به دمای آنها است و چون فرکانس تابشی به شدت میدان مغناطیسی محل تابش بستگی دارد می‌توان دمای اندازه‌گیری شده را به فرکانس تابش دریافت شده از آن محل مربوط نمود. بدین ترتیب با توجه به تغییرات فضایی میدان مغناطیسی در یک توکامک، با فرض اینکه میدان ساختار چنپره‌ای داشته باشد، تمام نقاط لایه‌های استوانه‌ای که در یک شعاع خاص قرار گرفته‌اند، در فرکانس یکسانی تابش می‌کنند [۳]. الکترونها محصور شده در میدان مغناطیسی چنبره‌ای توکامک را می‌توان در هارمونیکهای متفاوت و نیز در مدهای مختلف مورد بررسی قرار داد اما از آنجا که پلاسما باید از دیدگاه اپتیکی در امتداد انتشار امواج تابشی ضخیم باشد، اندازه‌گیریها را در هارمونیکهای و مدهایی انجام می‌دهیم که چنین شرایطی را ارضاء نمایند. این شرایط به ویژه زمانی بهتر برقرار می‌شود که اندازه‌گیریها در هارمونیکهای پایین و در امتداد شعاع اصلی چنبره و یا در امتداد گرادیان شعاعی دما و چگالی صورت پذیرد.

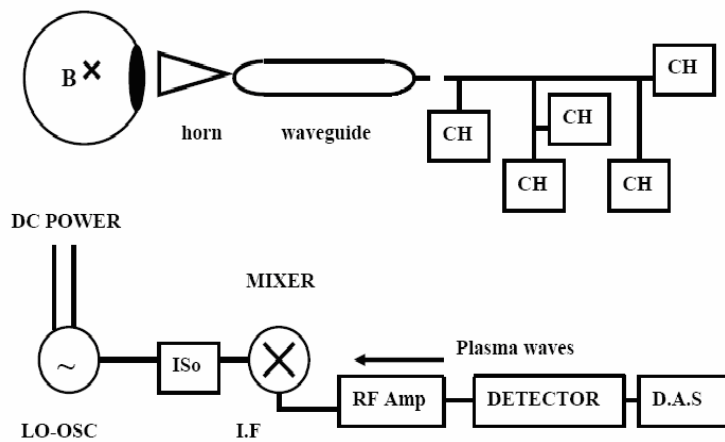
با استفاده از قانون تابش کیرشهف، شدت تابش سیکلولترونی الکترونها در هارمونیکهای مختلف از رابطه زیر به دست می‌آید [۴].

$$I(\omega) = \frac{\omega^2 KT}{8\pi^2 C^2} (1 - e^{-\tau}), \quad \tau = \int_{-a}^a \alpha dr,$$

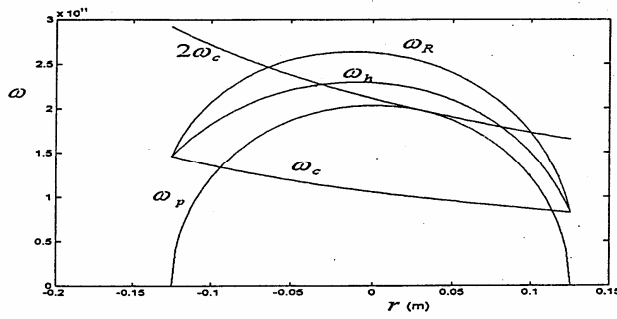
که در آن  $\tau$  ضخامت اپتیکی،  $\alpha$  ضریب جذب و  $a$  شعاع پلاسماست. شرط تابش جسم سیاه وقتی برقرار است که مقدار ضخامت اپتیکی حداقل از یک بزرگتر باشد. این مقدار برای هارمونیکهای اول تابش در دو نوع قطبش عادی (که در آن میدان الکتریکی موج تابشی عمود بر امتداد انتشار است) و قطبش غیر عادی (که در آن میدان الکتریکی در امتداد انتشار است) به صورت زیر نشان داده می‌شود [۵] :

$$\tau_{n=1}^{ord} \approx \frac{\pi^{\frac{1}{2}}}{2} \frac{\omega_{pe}}{\omega_{ce}} \left( \frac{V_{te}}{C} \right)^{\frac{1}{2}} \left( 1 - \frac{\omega_{pc}}{\omega_{ce}} \right)^{\frac{1}{2}} \frac{R}{\lambda},$$

$$\tau_{n=1}^{extr} \approx \frac{\sqrt{2}}{2} \pi \frac{\omega_{pe}}{\omega_{ce}} \left( \frac{V_{te}}{C} \right)^{\frac{1}{2}} \left( 1 - \frac{1}{2} \frac{\omega_{pe}}{\omega_{ce}} \right)^{\frac{1}{2}} \frac{R}{\lambda},$$



شکل ۱. شماتی کلی سیستم آشکارسازی و اندازه‌گیری ECE.



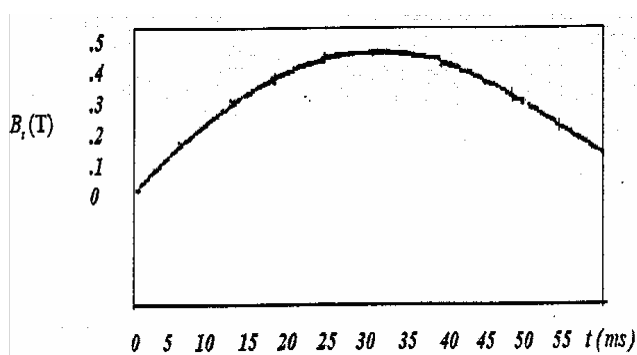
شکل ۲. منحنی تغییرات فرکانسهای هارمونیک اول  $\omega_{ce}$  و دوم  $2\omega_{ce}$  فرکانس پلاسما  $\omega_p$  و فرکانس قطع  $\omega_R$  و فرکانس تشدید  $\omega_h$ .

فرکانسهای کاملاً متمایز شده و به طور دقیق‌تر مورد بررسی قرار گیرند.

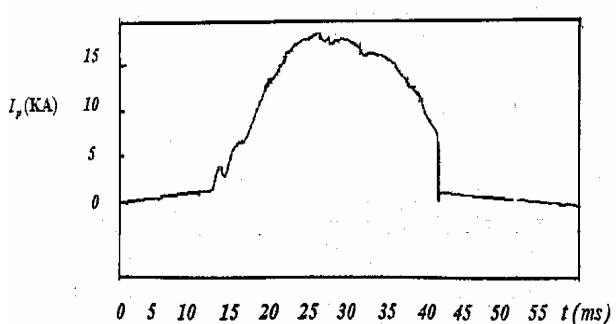
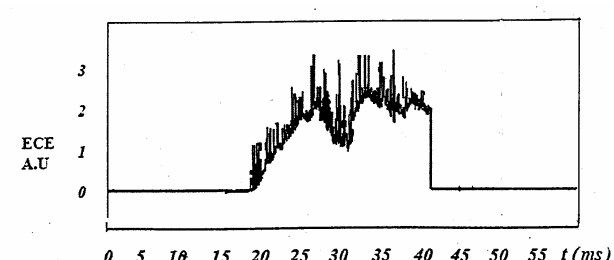
در شکل ۲ تغییرات فرکانس سیکلونزونی هارمونیکهای اول و دوم  $\omega_{ce}$  و  $2\omega_{ce}$  بر حسب موقعیت مکانی آنها در سطح مقطع پلاسما و نیز فرکانس الکترونی پلاسما  $\omega_p$  و فرکانس تشدید هیبرید بالا  $\omega_h$  و فرکانس قطع  $\omega_R$  با توجه به شرایط پلاسمای مورد آزمایش رسم شده‌اند چنانچه دیده می‌شود دریافت موج در هارمونیک اول به دلیل قرار گرفتن در ناحیه قطع (زیر منحنی  $\omega_p$ ) محدود نیست و تنها هارمونیک دوم می‌تواند مورد استفاده قرار گیرد که آنهم طبق شکل در بازه فرکانسهای خاصی قابل دریافت است. این محدودیتها از نحوه قرار گرفتن منحنیهای فوق نسبت به یکدیگر ناشی می‌شوند که بسته به شرایط کار توکامکهای مختلف، متفاوت است [۶].

فرکانس آنها بین ۳۵ GHz تا ۴۰ GHz می‌باشد. شدت تابش نیز در حد  $10^{-4} W Hz^{-1} Sr^{-1} cm^{-2}$  است و لذا آشکارسازهای این تابش باید از حساسیت بالایی برخوردار باشند. از آنجا که از بین سیستمهای مختلف طیف سنتجی، گیرندهای میکروویو هترودین به علت قدرت تفکیک فرکانسی بالا یعنی  $\frac{\Delta f}{f} \sim 10^{-3}$  و همچنین قدرت تفکیک زمانی کمتر از یک میکروثانیه در مقایسه با طیف سنجهای تبدیل فوریه‌ای، از کاربرد بیشتری برخوردارند، طیف سنج مورد استفاده در این آزمایش نیز از همین نوع انتخاب شده است که در ۵ کanal متفاوت عمل می‌کند.

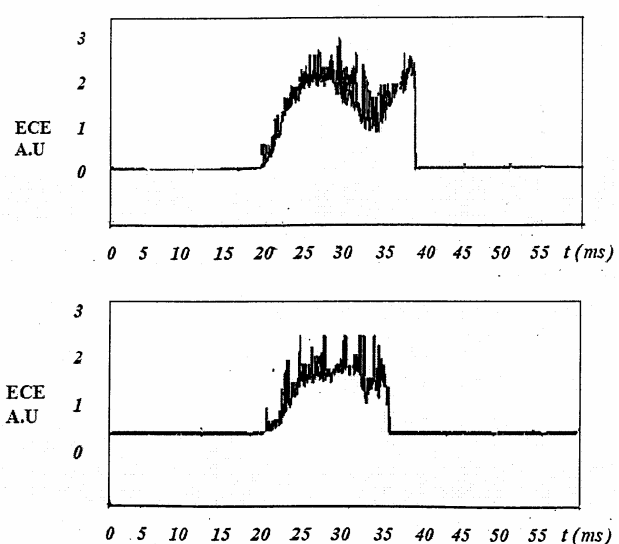
شکل (۱) نمای کلی گیرنده ECE را نشان می‌دهد. با استفاده از این دستگاه، تابشی که در امتداد عمود بر میدان مغناطیسی و در راستای شعاع بزرگ چنبره توکامک منتشر می‌شود اندازه‌گیری شده است. شیپور گیرنده توسط موجبری با ابعاد مناسب به دستگاه پنج کاناله هترودین متصل است. پنج نوسانگر موضعی پنج فرکانس تعیین شده را بین فرکانسهای ۳۵ الی ۴۰ گیگا هرتز تولید می‌کنند، که عبارتند از ۳۵/۸۵، ۳۵/۰۹، ۳۸/۲۲، ۳۸/۱۲، ۳۶/۲۵ گیگا هرتز. امواج تابش شده از پلاسما ضمن ورود به قسمت میکسر با امواج این نوسانگرهای موضعی کوپل شده و پس از عبور از تقویت کننده‌ها به سوی دستگاه پردازش داده‌ها هدایت می‌شوند. بدین ترتیب نوسانگرهای موضعی موجب می‌شوند که امواج دریافتی از پلاسما در این



شکل ۴. تغییرات میدان مغناطیسی چنبره‌ای توکامک در مدت محبوس‌سازی.



شکل ۵. تغییرات جریان پلاسمای توکامک در مدت زمان محبوس‌سازی.

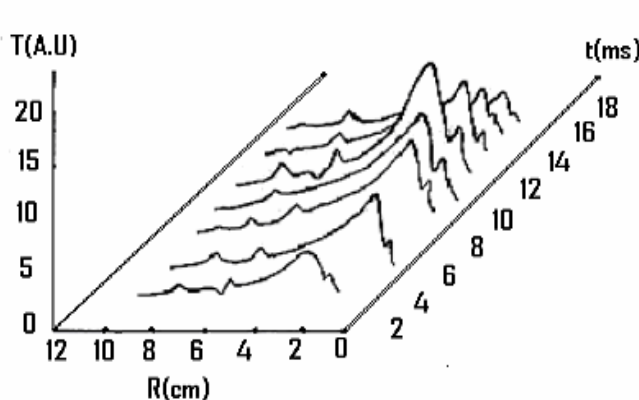


شکل ۳. تغییرات ECE در طی زمان محبوس‌سازی در سه فرکانس مختلف از بالا به پایین به ترتیب ۳۸/۲۲-۳۵/۰۹-۲۶/۲۵ گیگاهرتز.

الکتریکی خارجی صورت پذیرفته و افزایش و کاهشی را در مدت ۵۵ میلی ثانیه نشان می‌دهد توانسته است پلاسمایی را با جریان ماگزیم ۱۸ کیلوآمپر در مدت زمان ۲۵ میلی ثانیه در داخل چنبره توکامک ایجاد نماید. تابشهای ECE نیز در همین زمان فعال بوده‌اند. نوساناتی که در منحنی جریان در همین مدت زمان دیده می‌شوند مربوط به ناپایداریهای پلاسما است. برای تعیین پروفیل مکانی دما باید شدت موج دریافت شده از هر یک از منحنیهای ECE را در یک لحظه مشخص و یکسان برای همه (لحظه‌ای بین ۱ تا ۲۵ میلی ثانیه طبق شکل) تعیین و نتیجه را به محل دریافت موج مربوطه در امتداد شعاع چنبره نسبت دهیم. از آنجا که هر یک از منحنیهای ECE در فرکانس خاصی دریافت شده‌اند محل صدور آن فرکانس را می‌توان به کمک رابطه  $\omega = \frac{2qB}{m}$  به میدان مغناطیسی مربوطه نسبت داد و با داشتن پروفیل مکانی B که در توکامکها به

از طرف دیگر هارمونیک دوم دارای دو قطبش عادی و غیر عادی است که از آنها با بحثی که قبلًا انجام شد تنها قطبش غیر عادی آن شرط تابش جسم سیاه یعنی  $> 1\pi$  را ارضاء می‌نماید. بدین ترتیب مد غیرعادی هارمونیک دوم وسیله مناسبی را در این حالت برای اندازه‌گیری اطلاعات گسیل شده از پلاسما به دست می‌دهد. اینک با استفاده از رابطه تابش کیرشهف شدت موج مربوط به مد غیرعادی هارمونیک دوم را در ۵ فرکانس مشخص بالا بر حسب زمان محبوس‌سازی اندازه‌گیری می‌کنیم. شکل ۳ تغییرات زمانی شدت موج دریافتی را به ازاء چند کanal فرکانسی مختلف در مدت زمان ۲۵ میلی ثانیه نشان می‌دهد.

شکل‌های ۴ و ۵ به ترتیب تغییرات زمانی میدان مغناطیسی چنبره‌ای توکامک و تغییرات زمانی جریان پلاسما را در زمان محبوس‌سازی نشان می‌دهند. به طوری که دیده می‌شود برقراری میدان مغناطیسی در توکامک که توسط تخلیه



شکل ۷. نمایش سه بعدی تغییرات دمای الکترونی بر حسب شعاع و زمان محبوس‌سازی.

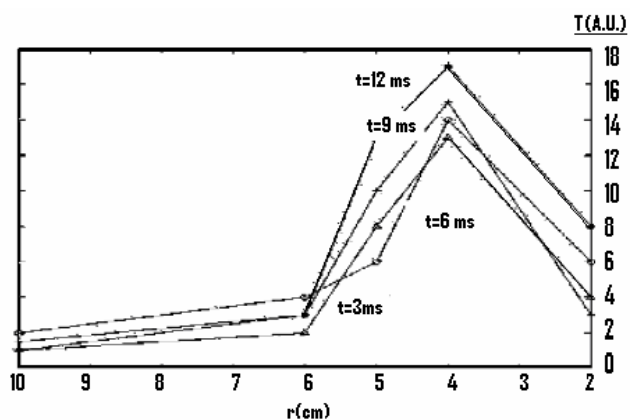
کوچک امری طبیعی است و می‌تواند با بالا بودن آهنگ ترکیب مجدد در مرکز پلاسما مرتبط باشد [۷].

#### ۴. نتیجه‌گیری

در این مقاله دمای پلاسمایی حاصل از توکامک IRT1 در سطح مقطع پلاسما مورد بررسی قرار گرفته و تغییرات شعاعی آن اندازه‌گیری شده است. همچنین تغییرات زمانی پروفیل دما در طول مدت محبوس‌سازی تعیین و ارائه شده است. استفاده از ECE در تعیین دمای پلاسما تکنیک شناخته شده و دقیقی است که با بالا رفتن فناوری طراحی گیرنده‌های مایکروویو و کالیبره کردن بسیار دقیق آنها می‌توان اطلاعات مورد نظر را از دمای الکترونها و نحوه توزیع آن به دست آورد.

#### قدرتانی

بدین وسیله از همکاری مرکز تحقیقات فیزیک پلاسمای دانشگاه آزاد اسلامی (پونک) به دلیل در اختیار گذاشتن امکانات پژوهشی تشکر می‌گردد.



شکل ۶. منحنی تغییرات شعاعی دما در چند زمان متفاوت محبوس‌سازی.

صورت  $\frac{1}{R}$  می‌باشد محل صدور موج را در راستای شعاع مورد نظر تعیین نمود. بدین ترتیب در هر لحظه با مطالعه شدت امواج دریافتی در پنج فرکانس مختلف دمای پنج محل در امتداد شعاع پلاسما اندازه‌گیری شده و پروفیل شعاعی دمای پلاسما به ازای آن لحظه به خصوص به دست می‌آید.

در شکل ۶ تغییرات دمای پلاسما به ازای شعاعهای متفاوت که بر اساس بررسی منحنیهای ECE به روش بالا به دست آمده است در چند زمان متفاوت ترسیم شده است که منحنی سه بعدی آن نیز در شکل ۷ دیده می‌شود. لازم به ذکر است که در رسم هر یک از این منحنیها علاوه بر آنچه که گفته شد تغییرات زمانی B نیز بر اساس شکل ۴ مد نظر قرار گرفته است.

آن گونه که دیده می‌شود دما در شعاعهای نزدیک به مرکز چنبره (تا حدود 2 cm) پایین است اما در حدود شعاع 4 سانتی‌متری به ماکزیمم مقدار خود می‌رسد. سپس تا لبه خارجی پلاسما ضمن نوسانات مختلف حالت کاهشی به خود می‌گیرد. پایین بودن دما در مرکز چنبره به خصوص در توکامک‌های

#### مراجع

5. G Bekefi, *Radiation Processes in Plasma*, J Wiley, New York (1966).
6. I H Hutchinson, *principles of plasma diagnostics*, cambridge (2002).
7. P Blanchard, E de la Luna, *Rev. of Sci. Ins.* **75** (2004) 3828.
1. Equipe TFR, *Nucl. Fusion* **18** (1978) 647.
2. C Ren, J D Callen and T A Gianakon, *Phys. Plasmas* **5** (1998) 450.
3. john Wesson, *tokamak*, oxford (1987).
4. M Bornatici, R Cano, Ode Barbieri and F Engelmann, *Nucl. Fusion*, **23** (1983) 1153.